





دانشگاه الزهرا (س)

دانشکده علوم پایه

پایان نامه

جهت اخذ درجه کارشناسی ارشد

رشته شیمی معدنی

عنوان

سنتز و شناسایی کمپلکس‌های فلزی با لیگاند های باز شیف چهار دندانه نامتقارن

استاد راهنما

خانم دکتر مریم لشنی زادگان

استاد مشاور

دکتر سعید دهقان پور

دانشجو

مهرناز خسروی کوچکسرایبی

کلید درمآورد های ناشی از تحقیق متعلق به دانشگاه الزهراء (س) می باشد.



بسمه تعالی

تاریخ:

شماره:

صورت جلسه ی دفاع از پایان نامه ی کارشناسی ارشد

(نسخه تحصیلات تکمیلی نسخه پرونده دانشجو نسخه مالی)

نام و نام خانوادگی دانشجو: مهرناز خسروی کوچکسرای شماره دانشجویی: ۸۸۱۳۴۸۰۰۴ نام رشته: شیمی معدنی

شماره درس: پایان نامه: تعداد کل واحد پایان نامه: ۶ واحد

عنوان پایان نامه: سنتز و شناسایی کمپلکس های فلزی با لیگاند چهاردندانه نامتقارن بازشیف

تاریخ دفاع از پایان نامه: ۱۳۹۰/۱۲/۱۰

نتیجه نهایی دفاع: قبول مردود

نمره درس پایان نامه: (به عدد) ۱۹،۵ عالی بسیار خوب خوب

اعضای هیات داوری پایان نامه:

نام و نام خانوادگی	سمت	امضا
خانم دکتر مریم لشنی زادگان	استاد راهنما	
آقای دکتر سعید دهقانپور	استاد مشاور	
خانم دکتر منصوره زاهدی	داور داخل	
آقای دکتر سعید رعیتی	داور خارج	

نام و نام خانوادگی رئیس یا مدیر تحصیلات تکمیلی دانشکده

امضا

نام و نام خانوادگی مدیر گروه

امضا

بر پایه مصوبه شورای تحصیلات تکمیلی دانشگاه مورخ ۸۹/۲/۲۵ دانشجو تا دو ماه بعد از تاریخ دفاع (۹۰/۱۲/۱۰) باید پایان نامه تصحیح و صحافی شده خود را تحویل دهد، در غیر این صورت از نمره دفاعیه او یک نمره کسر خواهد شد.

امضای کارشناس تحصیلات تکمیلی دانشگاه

تاریخ تحویل پایان نامه

امضای مدیر تحصیلات تکمیلی دانشگاه

نمره نهایی پس از اعمال مصوبه فوق

تقدیرم به:

والدین عزیزم که دعای خیرشان باعث موفقیت من بوده است.

بازپاس فراوان از:

استادار جبرئیل محمد گلشنی زاهدگان که تمام آموخته‌های خود در این پروژه

را بدون ایشان به‌تم و بارها به‌نامی‌های بی‌دریغ و دل‌وزانه خود مرا در انجام این کاریاری نیز وند.

و از جناب دکتر محمد قانزور استاده شاور من در این پروژه و وند و از راه‌نامی‌های ایشان بهره‌بردم.

دکتر محمد عینی چنانچه عنوان داور خارجی و همه‌چیزین سرکار خانم دکتر زاهدی به عنوان داور داخلی

که زحمت مطالعه و داوری این پایان‌نامه را تقبل کردند کمال تشکر را دارم.

چکیده

کمپلکس های باز شیف چهار دندانه نامتقارن حاوی اتم های دهنده N_3O با فلزات نیکل، روی و مس سنتز شدند. در تهیه این کمپلکس ها از تراکم فنیلن دی آمین با کتون های ۲-هیدروکسی استوفنون و ۱-هیدروکسی ۲-استونفتون به ترتیب نیم واحدهای N- (۲- هیدروکسی استوفنون) - ۱- آمینو - ۲- فنیلن ایمین (HL) و N- (۱- هیدروکسی ۲- استونفتون) - ۱- آمینو - ۲- فنیلن ایمین (HL) تهیه شدند. در مرحله بعد از واکنش الگو سازی HL با نمکهای نیکل، روی و مس و افزایش ۲- پیریدین کربوکسیل آلدهید کمپلکس های Zn ، $M=Ni$ ، $[NiL^1]NO_3$ و $[CuL^1]ClO_4$ با افزایش پیرول ۲- کربالدهید کمپلکس های Cu ، $M=Ni$ ، ML^2 سنتز شدند.

همچنین از واکنش HL^1 با نمک های نیکل، روی و مس و افزایش ۲-پیریدین کربوکسیل آلدهید کمپلکسهای Zn ، $M=Ni$ ، $[NiL^3]NO_3$ و $[CuL^3]ClO_4$ و یا افزایش پیرول ۲- کربالدهید کمپلکس های $M=Ni$ ، Zn ، Cu ، ML^4 سنتز شدند.

لیگاند باز شیف H_2L از تراکم ۴- بنزوسالیسیل آلدهید با نیم واحد HL^1 تهیه، و از واکنش لیگاند H_2L با نمک مس، کمپلکس CuL سنتز شد.

لیگاندهای نیم واحد، لیگاند H_2L ، کمپلکس های مربوط به آنها توسط روش هایی از قبیل طیف بینی IR، UV-VIS شناسایی شدند و همچنین برای شناسایی لیگاند H_2L ، کمپلکس های NiL^2 و ZnL^4 از طیف سنجی 1HNMR نیز استفاده شد.

خاصیت فلوئورسانس لیگاندهای نیم واحد، لیگاند H_2L و کمپلکس های مربوط به آنها در حالت محلول و جامد مورد بررسی قرار گرفت.

فهرست

صفحه

عنوان

فصل اول: مقدمه

۱-۱	تعریف باز شیف	۱
۲-۱	سنتز باز شیفها	۲
۳-۱	انواع باز شیفها	۴
۱-۳-۱	باز شیفهای تک دندانهای	۴
۲-۳-۱	باز شیفهای دو دندانهای	۴
۳-۳-۱	باز شیفهای سه دندانهای	۵
۴-۳-۱	باز شیفهای چهار دندانهای	۶
۵-۳-۱	باز شیفهای پنج دندانهای	۷
۶-۳-۱	باز شیفهای شش دندانهای	۸
۷-۳-۱	باز شیفهای هفت دندانهای	۸
۴-۱	کاربردهای ترکیبات باز شیفها	۹
۱-۴-۱	فعالیت کاتالیزگری	۹
۲-۴-۱	فعالیت‌های زیستی	۱۰
۱-۲-۴-۱	ضد باکتری	۱۰
۲-۲-۴-۱	ضد قارچ	۱۱
۳-۲-۴-۱	ضد مالاریا	۱۱
۴-۲-۴-۱	ضد ویروس	۱۲
۵-۲-۴-۱	ضد سرطان	۱۲
۶-۲-۴-۱	تنظیم کننده رشد گیاهان	۱۴
۳-۴-۱	ضد خوردگی	۱۴
۵-۱	تعریف لومینسانس	۱۷
۶-۱	تاریخچه لومینسانس	۱۷
۷-۱	انواع مختلف لومینسانس	۱۸

- ۸-۱ عوامل مؤثر بر شدت فلوتورسانس ۲۰
- ۱-۸-۱ اثر ساختاری ۲۰
- ۲-۸-۱ اثر صلبی ساختار ۲۱
- ۳-۸-۱ اثر دما و حلال ۲۱
- ۴-۸-۱ اثر pH ۲۱
- ۹-۱ کاربرد باز شیف‌ها با خاصیت فلوتورسانس ۲۲
- ۱-۹-۱ کاربرد باز شیف‌ها با خاصیت فلوتورسانس در شیمی سنسورها ۲۲
- ۱۰-۱ ترکیبات آزو ۲۴
- ۱-۱۰-۱ کاربرد ترکیبات آزو ۲۴
- ۲-۱۰-۱ آزوباز شیف‌ها ۲۵
- ۳-۱۰-۱ سنتز آزوباز شیف‌ها ۲۵
- ۴-۱۰-۱ کاربرد ترکیبات آزو باز شیف‌ها ۲۵

فصل دوم : بخش تجربی

- ۱-۲ مشخصات دستگاه‌های مورد استفاده در اندازه‌گیری ۲۸
- ۲-۲ مواد مورد استفاده ۲۸
- ۳-۲ حلال‌های مورد استفاده ۲۹
- ۴-۲ سنتز نیم واحد لیگاند HL ۲۹
- ۵-۲ سنتز کمپلکس‌ها به روش الگوسازی با استفاده از نیم واحد HL ۳۰
- ۱-۵-۲ سنتز کمپلکس $[NiL^1]NO_3$ ۳۰
- ۲-۵-۲ سنتز کمپلکس $[ZnL^1]NO_3$ ۳۱
- ۳-۵-۲ سنتز کمپلکس $[CuL^1]ClO_4$ ۳۱
- ۴-۵-۲ سنتز کمپلکس NiL^2 ۳۲
- ۵-۵-۲ سنتز کمپلکس ZnL^2 ۳۳
- ۶-۵-۲ سنتز کمپلکس CuL^2 ۳۳
- ۶-۲ سنتز نیم واحد لیگاند HL ۳۴
- ۷-۲ سنتز کمپلکس‌ها به روش الگوسازی با استفاده از نیم واحد لیگاند HL ۳۵
- ۱-۷-۲ سنتز کمپلکس $[NiL^3]NO_3$ ۳۵
- ۲-۷-۲ سنتز کمپلکس $[ZnL^3]NO_3$ ۳۶

۳۷[CuL ^۳]ClO _۴ سنتز کمپلکس
۳۸NiL ^۴ سنتز کمپلکس
۳۸ZnL ^۴ سنتز کمپلکس
۳۹CuL ^۴ سنتز کمپلکس
۴۰۴- سنتز بنزو سالیسیل آلدهید
۴۰H _۲ L سنتز لیگاند
۴۱۱۰-۲ سنتز کمپلکس از واکنش مستقیم لیگاند با نمک فلزی
۴۱۱-۱۰-۲ سنتز کمپلکس CuL

فصل سوم : بحث و نتیجه گیری

۴۴۱-۳ مسیر سنتز کمپلکس ها
۴۷۲-۳ سنتز نیم واحد لیگاندها
۴۸۳-۳ سنتز کمپلکس ها به روش الگوسازی
۴۸۱-۳-۳ کمپلکس های [CuL ^۱]ClO _۴ و [ML ^۱]NO _۳ , M = Ni, Zn
۵۲۲-۳-۳ سنتز کمپلکس های CuL ^۲ , NiL ^۲
۵۴۳-۳-۳ سنتز کمپلکس های [CuL ^۳]ClO _۴ و [ML ^۳]NO _۳ , M = Ni, Zn
۵۶۴-۳-۳ سنتز کمپلکس های NiL ^۴ , ZnL ^۴ , CuL ^۴
۵۹۴-۳ سنتز لیگاند H _۲ L
۶۰۵-۳ سنتز کمپلکس ها به روش مستقیم لیگاند با نمک فلزی
۶۰۱-۵-۳ سنتز کمپلکس CuL
۶۴۶-۳ بررسی خاصیت فلوتورسانس نیم واحد لیگاندهای HL و HL'
۶۶۷-۳ بررسی خاصیت فلوتورسانس کمپلکس های [CuL ^۱]ClO _۴ و [ML ^۱]NO _۳ , M = Zn, Ni
۶۸۸-۳ بررسی خاصیت فلوتورسانس کمپلکس های CuL ^۲ و NiL ^۲
۷۲۹-۳ بررسی خاصیت فلوتورسانس کمپلکس های [CuL ^۳]ClO _۴ و [ML ^۳]NO _۳ , M = Ni, Zn
۷۵۱۰-۳ بررسی خاصیت فلوتورسانس کمپلکس های NiL ^۴ , ZnL ^۴ , CuL ^۴
۸۰۱۱-۳ بررسی خاصیت فلوتورسانس لیگاند H _۲ L در حالت جامد و محلول
۸۲۱۲-۳ بررسی خاصیت فلوتورسانس CuL در حالت محلول و جامد
۸۳۱-۱۲-۳ بررسی خاصیت فلوتورسانس کمپلکس CuL با لیگاند H _۲ L در حالت محلول
۸۵خلاصه نتیجه گیری

فهرست منابع ۱۰۵

پیوست ۸۷

فهرست شکل‌ها

شکل	صفحه
شکل ۱-۱ تعدادی از بازشیف‌های طبیعی (۱) و سنتزی (۲)، (۳).....	۲
شکل ۲-۱ ساختار یک کمپلکس باز شیف تک دندانهای.....	۴
شکل ۳-۱ یک لیگاند دودندانهای.....	۴
شکل ۴-۱ تعدادی از بازشیف‌های چهار دندانه.....	۶
شکل ۵-۱ تعدادی از بازشیف‌های متقارن و نامتقارن.....	۷
شکل ۶-۱ ساختار یک لیگاند باز شیف شش دندانه‌ای.....	۸
شکل ۷-۱ ساختار یک لیگاند باز شیف هفت دندانه‌ای.....	۹
شکل ۸-۱ ساختار کمپلکس نیکل (II) دارای فعالیت ضدباکتری.....	۱۰
شکل ۹-۱ باز شیف‌های ضد قارچ.....	۱۱
شکل ۱۰-۱ باز شیف ضد مالاریا.....	۱۱
شکل ۱۱-۱ باز شیف‌های ضد ویروس.....	۱۲
شکل ۱۲-۱ ترکیباتی از نوع PtL_2X_2	۱۳
شکل ۱۳-۱ نحوه اتصال سیس پلاتین به پروتئین.....	۱۳
شکل ۱۴-۱ ترکیباتی با خاصیت ضد سرطان.....	۱۴
شکل ۱۵-۱ تعدادی از ترکیبات باز شیف چنددندانهای با خاصیت ضدخوردگی.....	۱۶
شکل ۱۶-۱ نمودار چابلونسکی.....	۱۹
شکل ۱۷-۱ مراحل سنتز CBS.....	۲۳
شکل ۱۸-۱ متیل اورانژ، یک شناساگر اسید - باز.....	۲۴
شکل ۱۹-۱ ساختار آزو باز شیف با خواص نوری غیرخطی مرتبه دو.....	۲۶
شکل ۲۰-۱ لیگاند هتروسیکل شش دندانه.....	۲۶

شکل طیف‌ها

شکل ۱-۲ طیف IR نیم واحد لیگاند HL.....	۲۹
شکل ۱-۲ طیف UV-VIS نیم واحد لیگاند HL.....	۲۹
شکل ۲-۲ طیف IR کمپلکس $[NiL^1]NO_3$	۳۰

۳۰	شکل ۲-۲ طیف UV-VIS کمپلکس $[\text{NiL}^1]\text{NO}_3$
۳۱	شکل ۳-۲ طیف IR کمپلکس $[\text{ZnL}^1]\text{NO}_3$
۳۱	شکل ۳-۲ طیف UV-VIS کمپلکس $[\text{ZnL}^1]\text{NO}_3$
۳۲	شکل ۴-۲ طیف IR کمپلکس $[\text{CuL}^1]\text{ClO}_4$
۳۲	شکل ۴-۲ طیف UV-VIS کمپلکس $[\text{CuL}^1]\text{ClO}_4$
۳۲	شکل ۵-۲ طیف IR کمپلکس NiL^2
۳۲	شکل ۵-۲ طیف UV-VIS کمپلکس NiL^2
۳۲	شکل ۵-۲ طیف $^1\text{H-NMR}$ کمپلکس $[\text{NiL}^2]\text{NO}_3$
۳۴	شکل ۶-۲ طیف IR کمپلکس CuL^2
۳۴	شکل ۶-۲ طیف UV-VIS کمپلکس CuL^2
۳۴	شکل ۷-۲ طیف IR نیم واحد HL^1
۳۴	شکل ۷-۲ طیف UV-VIS نیم واحد لیگاند HL^1
۳۵	شکل ۸-۲ طیف IR کمپلکس $[\text{NiL}^3]\text{NO}_3$
۳۵	شکل ۸-۲ طیف UV-VIS کمپلکس $[\text{NiL}^3]\text{NO}_3$
۳۶	شکل ۹-۲ طیف IR کمپلکس $[\text{ZnL}^3]\text{NO}_3$
۳۶	شکل ۹-۲ طیف UV-VIS کمپلکس $[\text{ZnL}^3]\text{NO}_3$
۳۷	شکل ۱۰-۲ طیف IR کمپلکس $[\text{CuL}^3]\text{ClO}_4$
۳۷	شکل ۱۰-۲ طیف UV-VIS کمپلکس $[\text{CuL}^3]\text{ClO}_4$
۳۸	شکل ۱۱-۲ طیف IR کمپلکس NiL^4
۳۸	شکل ۱۱-۲ طیف UV-VIS کمپلکس NiL^4
۳۸	شکل ۱۱-۲ طیف UV-VIS کمپلکس NiL^4
۳۹	شکل ۱۲-۲ طیف IR کمپلکس ZnL^4
۳۹	شکل ۱۲-۲ طیف UV-VIS کمپلکس ZnL^4
۳۹	شکل ۱۲-۲ طیف $^1\text{H-NMR}$ کمپلکس ZnL^4
۳۹	شکل ۱۳-۲ طیف IR کمپلکس CuL^4
۳۹	شکل ۱۳-۲ طیف UV-VIS کمپلکس CuL^4
۴۱	شکل ۱۴-۲ طیف IR لیگاند H_2L
۴۱	شکل ۱۴-۲ طیف UV-VIS لیگاند H_2L
۴۱	شکل ۱۴-۲ طیف $^1\text{H-NMR}$ لیگاند H_2L

- شکل ۲-۱۵ طیف IR کمپلکس CuL ۴۲
- شکل ۲-۱۵ طیف UV-VIS کمپلکس CuL ۴۲
- شکل ۳-۱ طیف فلوئورسانس نیم واحد لیگاند HL ۶۴
- شکل ۳-۲ طیف فلوئورسانس نیم واحد لیگاند HL در $\lambda_{ex}=373\text{nm}$ و غلظت‌های $M=1.0 \times 10^{-5}$ ، $M=6.0 \times 10^{-5}$ و $M=9.0 \times 10^{-5}$ ۶۵
- شکل ۳-۳ طیف فلوئورسانس نیم واحد لیگاندها در حالت جامد ۶۵
- شکل ۳-۴ طیف فلوئورسانس کمپلکس $[ZnL^1]NO_3$ در $\lambda_{ex}=320\text{nm}$ و غلظت $M=1.0 \times 10^{-5}$ ۶۶
- شکل ۳-۵ طیف فلوئورسانس کمپلکس $[ZnL^1]NO_3$ در $\lambda_{ex}=320\text{nm}$ و غلظت‌های $M=1.0 \times 10^{-5}$ و $M=1.7 \times 10^{-5}$ ۶۷
- شکل ۳-۶ طیف فلوئورسانس کمپلکس‌های $[ML^1]NO_3$ ، $M=Zn, Ni$ و $[CuL^1]ClO_4$ در حالت جامد ۶۷
- شکل ۳-۷ طیف فلوئورسانس کمپلکس CuL^2 در $\lambda_{ex}=299\text{nm}$ و در غلظت $M=1.0 \times 10^{-4}$ ۶۸
- شکل ۳-۸ طیف فلوئورسانس کمپلکس CuL^2 در $\lambda_{ex}=232\text{nm}$ و غلظت $M=1.0 \times 10^{-4}$ ۶۹
- شکل ۳-۹ طیف فلوئورسانس کمپلکس CuL^2 در $\lambda_{ex}=299\text{nm}$ و غلظت‌های $M=2.3 \times 10^{-4}$ ، $M=1.0 \times 10^{-4}$ و $M=4.5 \times 10^{-5}$ ۶۹
- شکل ۳-۱۰ طیف فلوئورسانس کمپلکس CuL^2 در $\lambda_{ex}=232\text{nm}$ و غلظت‌های $M=2.3 \times 10^{-4}$ ، $M=1.0 \times 10^{-4}$ و $M=4.5 \times 10^{-5}$ ۷۰
- شکل ۳-۱۱ طیف فلوئورسانس کمپلکس CuL^2 در حالت جامد ۷۰
- شکل ۳-۱۲ طیف فلوئورسانس کمپلکس‌های CuL^2 و NiL^2 در حالت جامد ۷۱
- شکل ۳-۱۳ طیف فلوئورسانس کمپلکس $[ZnL^3]NO_3$ در $\lambda_{ex}=338\text{nm}$ و غلظت $M=1.0 \times 10^{-5}$ ۷۲
- شکل ۳-۱۴ طیف فلوئورسانس کمپلکس $[ZnL^3]NO_3$ در $\lambda_{ex}=317\text{nm}$ و غلظت $M=1.0 \times 10^{-5}$ ۷۳
- شکل ۳-۱۵ طیف فلوئورسانس کمپلکس $[ZnL^3]NO_3$ در $\lambda_{ex}=317\text{nm}$ و غلظت‌های $M=4.8 \times 10^{-5}$ و $M=1.0 \times 10^{-5}$ ۷۳
- شکل ۳-۱۶ طیف فلوئورسانس کمپلکس $[ZnL^3]NO_3$ در $\lambda_{ex}=338\text{nm}$ و غلظت‌های $M=4.8 \times 10^{-5}$ و $M=1.0 \times 10^{-5}$ ۷۳
- شکل ۳-۱۷ طیف فلوئورسانس کمپلکس‌های $[ML^3]NO_3$ ، $M=Ni, Zn$ و $[CuL^3]ClO_4$ در حالت جامد ۷۴
- شکل ۳-۱۸ طیف فلوئورسانس کمپلکس‌های CuL^4 ، ZnL^4 در غلظت $M=2.0 \times 10^{-5}$ ۷۵
- شکل ۳-۱۹ طیف فلوئورسانس کمپلکس‌های CuL^4 ، ZnL^4 در غلظت $M=5.0 \times 10^{-5}$ ۷۶
- شکل ۳-۲۰ طیف فلوئورسانس ZnL^4 در $\lambda_{ex}=296\text{nm}$ ، $M=5.0 \times 10^{-5}$ و $M=2.0 \times 10^{-5}$ ۷۷
- شکل ۳-۲۱ طیف فلوئورسانس ZnL^4 در $\lambda_{ex}=368\text{nm}$ ، $M=5.0 \times 10^{-5}$ و $M=2.0 \times 10^{-5}$ ۷۷
- شکل ۳-۲۲ طیف فلوئورسانس CuL^4 در $\lambda_{ex}=285\text{nm}$ و $M=5.0 \times 10^{-5}$ ، $M=2.0 \times 10^{-5}$ ۷۸
- شکل ۳-۲۳ طیف فلوئورسانس CuL^4 در $\lambda_{ex}=380\text{nm}$ و $M=5.0 \times 10^{-5}$ ، $M=2.0 \times 10^{-5}$ ۷۹
- شکل ۳-۲۴ طیف فلوئورسانس کمپلکس‌های CuL^4 و NiL^4 در حالت جامد ۷۹
- شکل ۳-۲۵ طیف فلوئورسانس کمپلکس‌های CuL^4 و NiL^4 در حالت جامد ۷۹
- شکل ۳-۲۶ طیف فلوئورسانس H_2L در $\lambda_{ex}=452\text{nm}$ و غلظت $M=1.0 \times 10^{-5}$ ۸۰
- شکل ۳-۲۷ طیف فلوئورسانس H_2L در $\lambda_{ex}=452\text{nm}$ و غلظت‌های $M=2.0 \times 10^{-5}$ و $M=1.0 \times 10^{-5}$ ۸۱
- شکل ۳-۲۸ طیف فلوئورسانس H_2L در $\lambda_{ex}=452\text{nm}$ و حالت جامد ۸۱

- شکل ۳-۲۹ طیف فلوئورسانس کمپلکس CuL $\lambda_{ex}=383nm$ و غلظت $7/32 \times 10^{-5} M$ ۸۲
- شکل ۳-۳۰ طیف فلوئورسانس کمپلکس CuL در $\lambda_{ex}=383nm$ و غلظتهای $7/32 \times 10^{-5} M$ و $2 \times 10^{-5} M$ ۸۳
- شکل ۳-۳۱ طیف فلوئورسانس کمپلکس CuL و لیگاند H₂L در غلظت $2 \times 10^{-5} M$ ۸۴

فهرست جدول‌ها

صفحه	جدول
۴۷	۱-۳ داده‌های حاصل از طیف زیر قرمز نیم واحد لیگاند HL ⁻ و HL ⁻ ۴۷
۴۷	۲-۳ داده‌های حاصل از طیف UV-VIS نیم واحد لیگاند HL ⁻ و HL ⁻ ۴۷
۴۹	۳-۳ داده‌های حاصل از طیف زیرقرمز کمپلکس $[CuL^1]ClO_4$ و $[ML^1]NO_3$ ، M = Ni, Zn ۴۹
۴۹	۴-۳ داده‌های حاصل از طیف UV-VIS کمپلکس $[CuL^1]ClO_4$ و $[ML^1]NO_3$ ، M = Ni, Zn ۴۹
۵۲	۵-۳ داده‌های حاصل از طیف زیرقرمز کمپلکس CuL^2 و NiL^2 ۵۲
۵۲	۶-۳ داده‌های حاصل از طیف UV-VIS کمپلکس CuL^2 و NiL^2 ۵۲
۵۲	۷-۳ داده‌های ¹ H-NMR کمپلکس $[NiL^2]NO_3$ ۵۲
۵۵	۸-۳ داده‌های حاصل از طیف زیرقرمز کمپلکس $[CuL^3]ClO_4$ و $[ML^3]NO_3$ ، M = Ni, Zn ۵۵
۵۵	۹-۳ داده‌های حاصل از طیف UV-VIS کمپلکس $[CuL^3]ClO_4$ و $[ML^3]NO_3$ ، M = Ni, Zn ۵۵
۵۶	۱۰-۳ داده‌های حاصل از طیف زیرقرمز کمپلکس CuL^4 ، ZnL^4 و NiL^4 ۵۶
۵۷	۱۱-۳ داده‌های حاصل از طیف UV-VIS کمپلکس CuL^4 ، ZnL^4 و NiL^4 ۵۷
۵۷	۱۲-۳ داده‌های ¹ H-NMR کمپلکس ZnL^4 ۵۷
۵۹	۱۳-۳ داده‌های حاصل از طیف زیرقرمز لیگاند H ₂ L ۵۹
۵۹	۱۴-۳ داده‌های حاصل از طیف UV-VIS لیگاند H ₂ L ۵۹
۵۹	۱۵-۳ داده‌های ¹ H-NMR لیگاند H ₂ L ۵۹
۶۰	۱۶-۳ داده‌های حاصل از طیف زیرقرمز کمپلکس CuL ۶۰
۶۱	۱۷-۳ داده‌های حاصل از طیف UV-VIS کمپلکس CuL ۶۱
۶۴	جدول ۳-۱۶ جذب و نشر فلوئورسانس نیم واحد لیگاند HL در غلظت $9 \times 10^{-5} M$ ۶۴
۶۵	جدول ۳-۱۷ طیف جذب و نشر فلوئورسانس نیم واحد لیگاندها در حالت جامد ۶۵
۶۶	جدول ۳-۱۸ جذب و نشر فلوئورسانس کمپلکس $[CuL^1]ClO_4$ و $[ML^1]NO_3$ ، M = Zn, Ni در غلظت $1 \times 10^{-5} M$ ۶۶

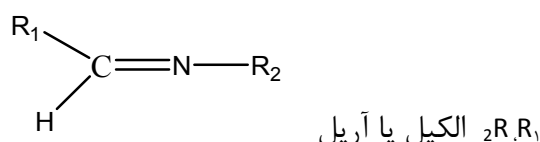
- جدول ۱۹-۳ جذب و نشر فلوتورسانس کمپلکس‌های $[ML^1]NO_3$ ، $M=Zn, Ni$ و $[CuL^1]ClO_4$ در حالت جامد..... ۶۸
- جدول ۲۰-۳ جذب و نشر فلوتورسانس کمپلکس‌های CuL^2 و NiL^2 در غلظت $M = 1/5 \times 10^{-4}$ ۶۹
- جدول ۲۱-۳ جذب و نشر فلوتورسانس کمپلکس‌های CuL^2 و NiL^2 در حالت جامد..... ۷۱
- جدول ۲۲-۳ جذب و نشر فلوتورسانس کمپلکس‌های CuL^2 و NiL^2 در حالت جامد..... ۷۱
- جدول ۲۳-۳ جذب و نشر فلوتورسانس کمپلکس‌های $[ML^3]NO_3$ ، $M=Ni, Zn$ و $[CuL^3]ClO_4$ در غلظت $M = 1/5 \times 10^{-5}$ ۷۲
- جدول ۲۴-۳ جذب و نشر فلوتورسانس کمپلکس‌های $[ML^3]NO_3$ ، $M=Ni, Zn$ و $[CuL^3]ClO_4$ در غلظت $M = 1/5 \times 10^{-5}$ ۷۳
- جدول ۲۵-۳ جذب و نشر فلوتورسانس کمپلکس‌های $[ML^3]NO_3$ ، $M=Ni, Zn$ و $[CuL^3]ClO_4$ در حالت جامد..... ۷۵
- جدول ۲۶-۳ جذب و نشر فلوتورسانس کمپلکس‌های CuL^4 ، ZnL^4 ، NiL^4 در غلظت $M = 2/5 \times 10^{-5}$ ۷۶
- جدول ۲۷-۳ جذب و نشر فلوتورسانس کمپلکس‌های CuL^4 ، ZnL^4 ، NiL^4 در غلظت $M = 5 \times 10^{-5}$ ۷۶
- جدول ۲۸-۳ جذب و نشر فلوتورسانس کمپلکس‌های CuL^4 ، ZnL^4 ، NiL^4 در حالت جامد..... ۷۹
- جدول ۲۹-۳ جذب و نشر فلوتورسانس کمپلکس‌های CuL^4 ، ZnL^4 ، NiL^4 در حالت جامد..... ۸۰
- جدول ۳۰-۳ جذب و نشر فلوتورسانس لیگاند H_2L در غلظت $M = 1 \times 10^{-5}$ ۸۰
- جدول ۳۱-۳ جذب و نشر فلوتورسانس H_2L در $\lambda_{ex} = 452 \text{ nm}$ و حالت جامد..... ۸۲
- جدول ۳۲-۳ جذب و نشر فلوتورسانس کمپلکس CuL $\lambda_{ex} = 383 \text{ nm}$ و غلظت $M = 7/32 \times 10^{-5}$ ۸۲
- جدول ۳۳-۳ جذب و نشر فلوتورسانس کمپلکس CuL و لیگاند H_2L در غلظت $M = 2 \times 10^{-5}$ ۸۴

فصل اول

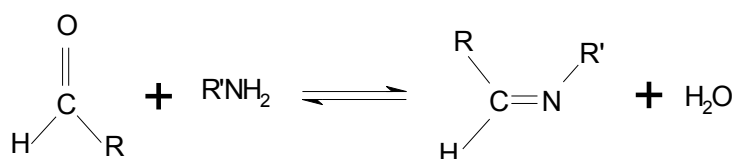
مقدمه

۱-۱ تعریف باز شیف

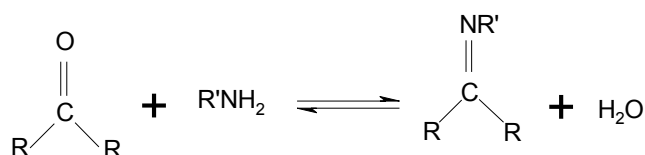
باز شیف‌ها گروهی از ترکیبات آلی هستند که به ایمین^۱ یا آزومتین^۲ نیز شناخته شده‌اند. وقتی یک آمین نوع اول با یک آلدهید یا کتون تحت شرایط خاص واکنش دهد باز شیف بوجود می‌آید. که ساختار کلی آنها به صورت زیر است.



این ترکیبات نخستین بار توسط دانشمند آلمانی هوگوشیف^۳ کشف شد [۵-۱]. در صورتی که ایمین از واکنش آلدهید با آمین نوع اول تولید شود آن را آلدیمین^۴ می‌نامند.



البته به جای آلدهید گاهی از کتون استفاده می‌کنند که به ایمین تولیدشده کتیمین^۵ می‌گویند [۶،۷].



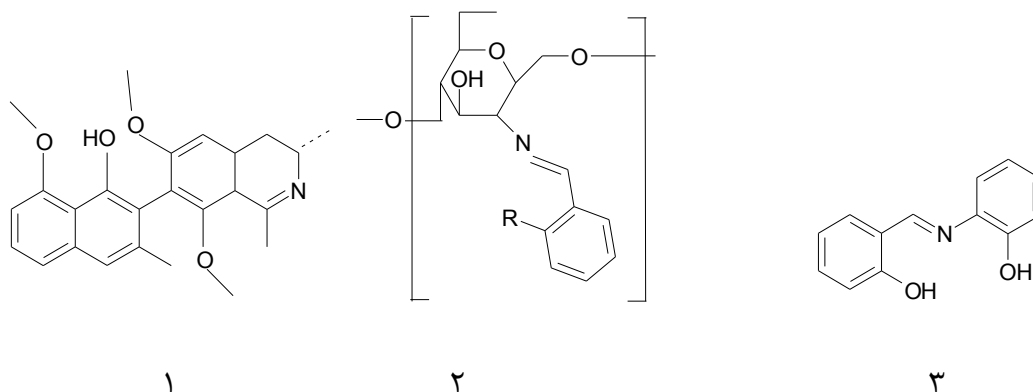
واکنش تهیه باز شیف برگشت پذیر می‌باشد [۹،۸].

آلدهیدها معمولاً سریع‌تر از کتون‌ها در واکنش تشکیل باز شیف شرکت می‌کنند. این اختلاف واکنش پذیری به دلیل عوامل الکترونی و فضایی می‌باشد. کتون یک گروه الکیل دارد که بزرگتر از اتم هیدروژن آلدهید است. در نتیجه مرکز واکنش آلدهیدها نسبت به کتون‌ها ممانعت فضایی کمتری دارد. همچنین

¹- Imine
²- Azomethine
³- Hugo schiff
⁴- Aldimine
⁵- Ketimine

یک گروه الکیل در کتون دهنده الکترون است بنابراین قدرت الکترون گیری کتون کمتر از آلدهید است [۱۰].

باز شیفاها معمولاً پایدارند، ولی در حضور آب و اسیدهای قوی به ترکیبات کربونیل و آمین تجزیه می‌شوند. گروه‌های ایمین و مشتق آنها به طور طبیعی و سنتزی وجود دارند شکل (۱-۱) [۱۱-۱۳].



شکل ۱-۱ تعدادی از باز شیفاهای طبیعی (۱) و سنتزی (۲)، (۳)

۲-۱ سنتز باز شیفاها

روش‌های مختلفی برای سنتز ایمین ارائه شد [۱۴]. متداول‌ترین روش ارائه شده توسط شیفا، تراکم یک ترکیب کربونیل با یک آمین تحت تقطیر آزئوتروپیک است [۱۵]. و مولکول آب تشکیل شده از سیستم خارج می‌شود [۱۶]. در سال ۱۹۹۰ یک روش مناسب برای حذف آب با به کار بردن حلال‌های دی‌هیدراته نظیر تترامتیل اورتو سیلیکات یا تری میتل اورتو فرمات گسترش پیدا کرد [۱۷، ۱۸]. در سال ۲۰۰۴ چاکرا بورتی طی آزمایش نشان داد که کارایی این روش‌ها بستگی به استفاده از ترکیبات الکتروفیل کربونیل‌دار و قدرت هسته دوستی آمین‌ها دارد و پیشنهاد کرد که از اسیدهای لوویس یا

برونشند - لوری برای فعال سازی گروه کربونیل آلدهیدها و کاتالیز کردن حمله نوکلئوفیلی آمین ها و نیز حذف آب در مرحله آخر استفاده شود [۱۹].

مثال هایی از اسیدهای برونستد - لوری یا اسیدهای لوویس که برای سنتز باز شیف به کار رفتند عبارتند از:

$ZnCl_2, TiCl_4, MgSO_4-PPTS, Ti(OR)_4, Al_2O_3, H_2SO_4, NaHCO_3, MgSO_4, Mg(ClO_4)_2,$

$H_3CCOOH, P_2O_5/Al_2O_3, HCl$ [31-19]

در ۱۲ سال گذشته تعدادی تکنیک و روش های جدید ارائه شده، این روش ها عبارتند از :

۱- حلال آزاد /خاک چینی / پرتوهای ریزموج

۲- سنتز حالت جامد

۳- ۱۰-k / ریزموج

۴- متوسط سوسپانسیون آب

۵-BF₃ / غربال مولکولی

۶- پرتوهای فرسرخ / بدون حلال

۷- SiO₄NaHSO_۲ / ریزموج / حلال آزاد

۸- حلال آزاد / CaO / ریزموج

۹- سیلیکا / امواج فراصوت [۳۲-۴۰].

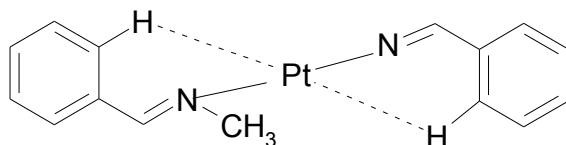
از بین این روش‌های جدید پرتوهای ریزموج بخاطر عملکرد ساده، سرعت بالای واکنش و حساسیت زیاد مورد استفاده قرار گرفته شد [۳۹]. از دیگر خصوصیات این تکنیک، انجام واکنش‌ها با راندمان بالا در یک دوره زمانی کوتاهتر می‌باشد. از آنجا که این روش استفاده از حلال‌های آلی کاهش می‌یابد مشکلات زیست محیطی کمتری ایجاد می‌کند.

۱-۳ انواع باز شیف‌ها

باز شیف‌ها بر اساس تعداد اتم‌های دهنده در ساختار آنها که قادر به کوئوردینه شدن به فلز می‌باشند به انواع مختلف تقسیم می‌شوند.

۱-۳-۱ باز شیف‌های تک دندانه‌ای

باز شیف تک دندانه‌ای $PbCH=NMe$ قادر به تشکیل کمپلکس با Pd است شکل (۱-۲). در باز شیف تک دندانه‌ای، تنها از طریق کوئوردینه شدن یک اتم نیتروژن ایمینی به یون فلزی کمپلکس‌های پایدار ایجاد نخواهد شد [۴۱، ۴۲]. در این موارد حداقل یک اتم دهنده دیگر که بتواند لیگاند را جهت کوئوردینه شدن به فلز مناسب سازد نیاز است [۴۳].



شکل ۱-۲ ساختار یک کمپلکس باز شیف تک دنده‌ای

۱-۳-۲ باز شیف‌های دو دندانه‌ای

این نوع باز شیف‌ها دو گروه دهنده نیتروژن دارند که با نماد N_2 نشان می‌دهند شکل (۱-۳) [۴۴].

